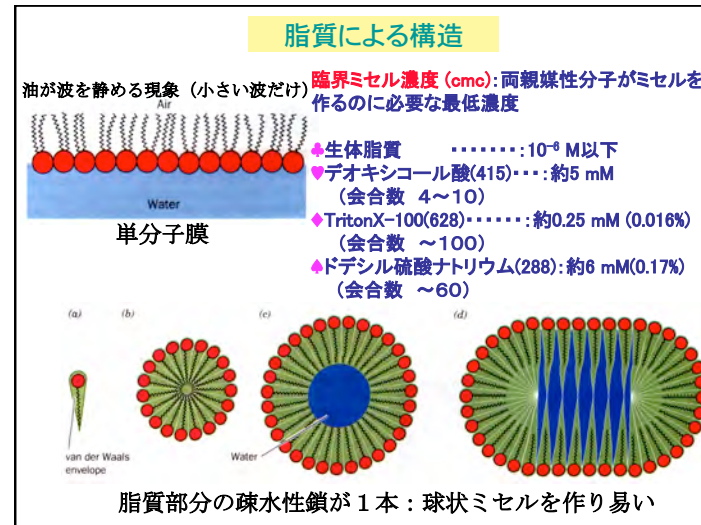
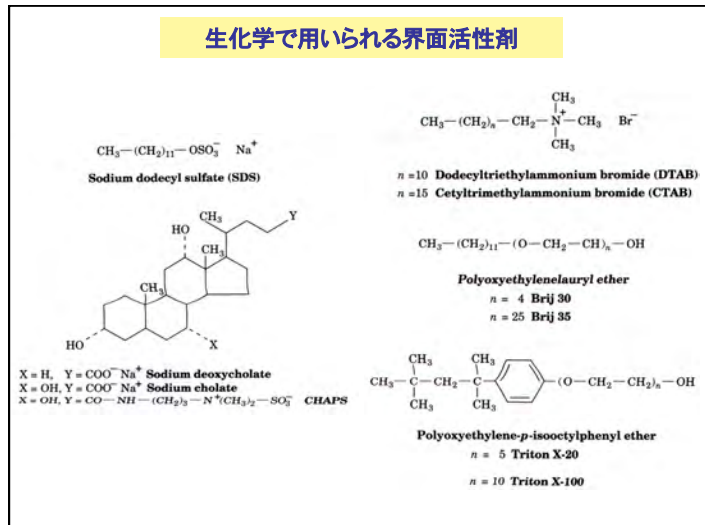


## べん毛の単離プロトコール

- 1) 菌体の回収（低速遠心）
- 2) しょ糖を含む緩衝液にいれる
- 3) リゾチーム処理+ EDTA
- 4) トリトンX-100処理
- 5) MgSO<sub>4</sub>+DNase
- 6) EDTA
- 7) 低速遠心
- 8) 10万gで遠心
- 9) 沈殿をバッファーに懸濁



**アリエール イオンパワージェル**



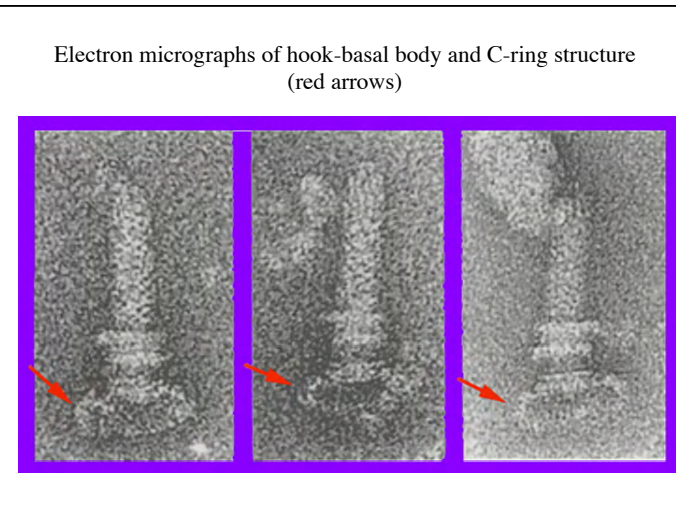
| 成分名                 | 機能/目的 |
|---------------------|-------|
| 水                   | 工作用   |
| 脂肪アルキルベンゼンスルホン酸塩    | 界面活性剤 |
| ポリオキシエチレンアルキルエーテル   | 界面活性剤 |
| 青せっけん分(高脂肪ケトリウム)    | 界面活性剤 |
| カセイソルトナトリウム         | pH調整剤 |
| アルキルエーテル硫酸エスチラム     | 界面活性剤 |
| クエン酸                | 酸化防止剤 |
| タメントホスホナトリウム        | 安定化剤  |
| アルコキシ化ポリエチレンイソノ     | 分散剤   |
| スマルタルコール            | 安定化剤  |
| かづ歯                 | 安定化剤  |
| アルキルトリメチルアンモニウム塩    | 界面活性剤 |
| スタノールアミン            | pH調整剤 |
| アルコキシ化ポリエチレンイソノ     | 洗浄助剤  |
| 香料                  | 香料    |
| プロピレングリコール          | 安定化剤  |
| 酵素                  | 酵素    |
| DTNP <sup>®</sup> 桂 | 金属抑制剤 |
| ホホバマシ油              | 安定化剤  |
| 蛍光美白剤               | 蛍光美白剤 |
| シリコーン               | 泡調製剤  |
| 着色料                 | 着色料   |

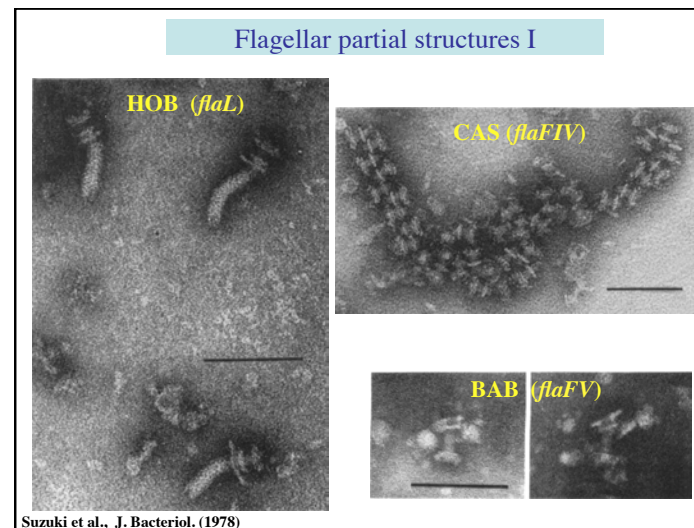
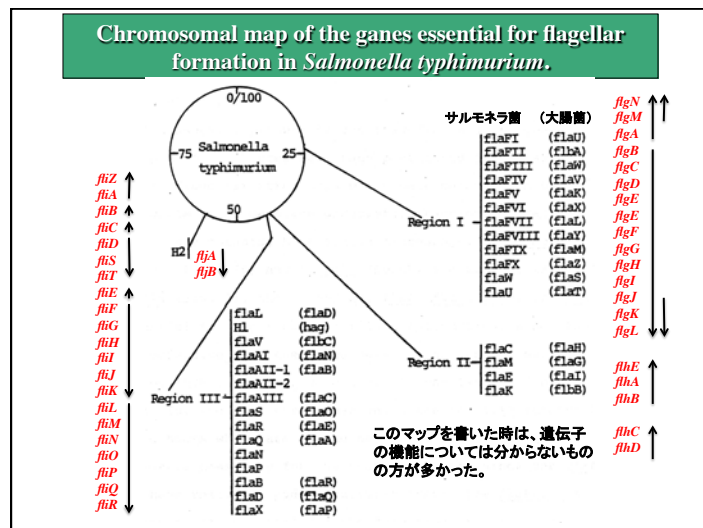
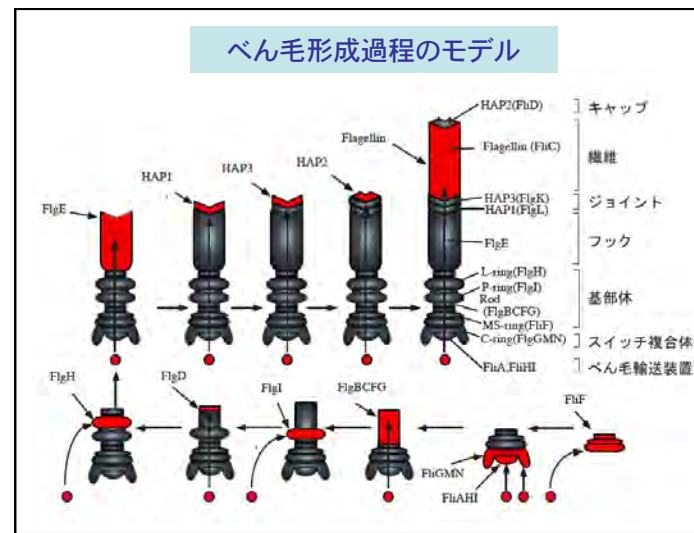
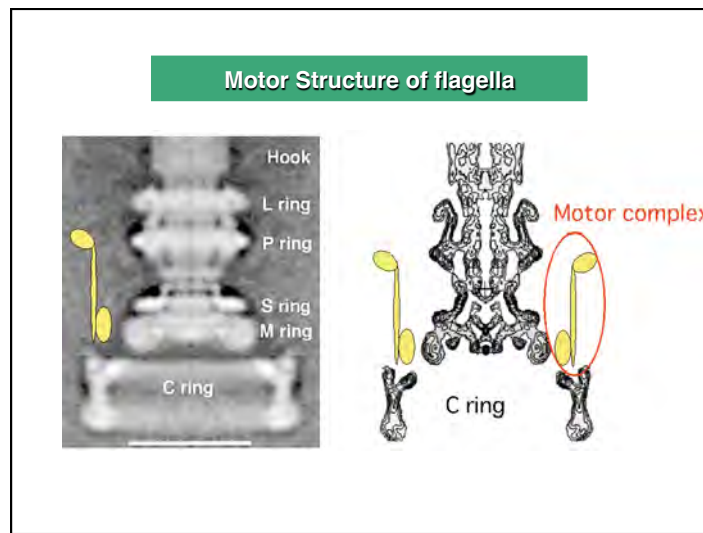
\*異なる2種類のアルコキシ化ポリエチレンイソノを使用

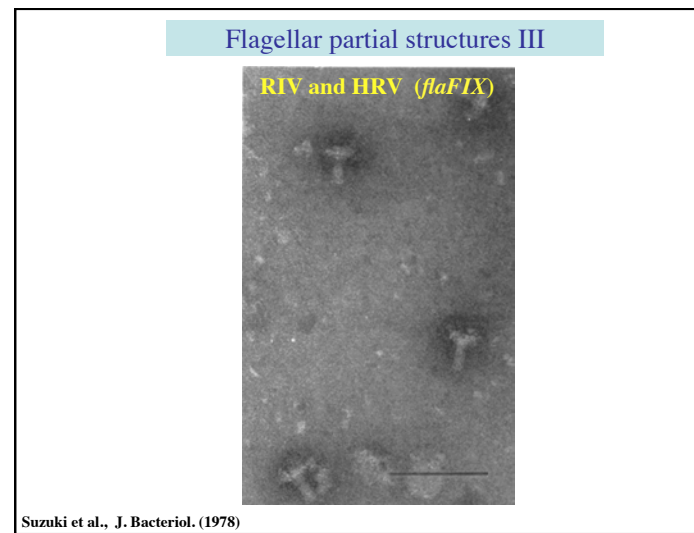
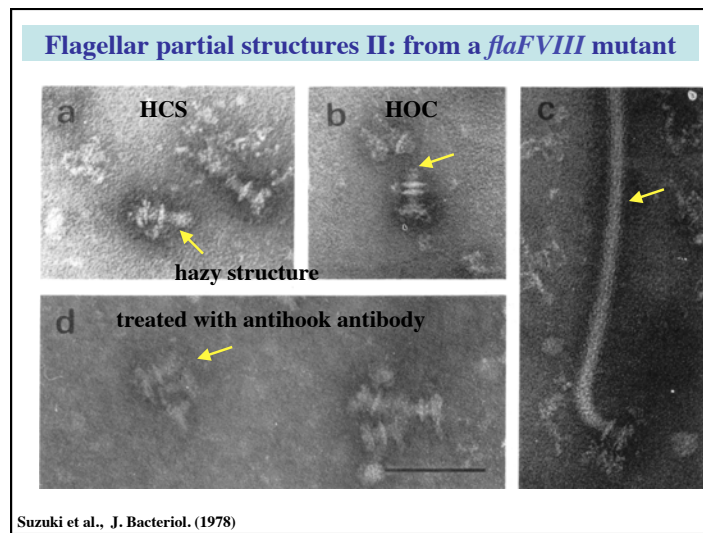
**表1 代表的な界面活性剤の特徴**

| 界面活性剤        | 分類    | ミセル会合数 | ミセル分子量(Da) | 分子量(Da) | CMC(mM) | CMC(% w/v) | 沸り点(°C) | 透析による除去* |
|--------------|-------|--------|------------|---------|---------|------------|---------|----------|
| Triton X-100 | 非イオン性 | 140    | 90,000     | 647     | 0.24    | 0.0155     | 64      | 困難       |
| Triton X-114 | 非イオン性 | -      | -          | 537     | 0.21    | 0.0113     | 23      | 困難       |
| NP-40        | 非イオン性 | 149    | 90,000     | 617     | 0.29    | 0.0179     | 80      | 困難       |
| Brij-35      | 非イオン性 | 40     | 49,000     | 1225    | 0.09    | 0.1103     | > 100   | 困難       |
| Brij-58      | 非イオン性 | 70     | 82,000     | 1120    | 0.077   | 0.0086     | > 100   | 困難       |
| Tween-20     | 非イオン性 | -      | -          | 1228    | 0.06    | 0.0074     | 95      | 困難       |
| Tween-80     | 非イオン性 | 60     | 76,000     | 1310    | 0.012   | 0.0016     | -       | 困難       |

|                     |       |    |        |     |        |                 |       |    |
|---------------------|-------|----|--------|-----|--------|-----------------|-------|----|
| Octyl Glucoside     | 非イオン性 | 27 | 8,000  | 292 | 23-25  | 0.6716 - 0.7300 | > 100 | 容易 |
| Octylthio Glucoside | 非イオン性 | -  | -      | 308 | 9      | 0.2772          | > 100 | 容易 |
| SDS                 | 陰イオン性 | 62 | 18,000 | 288 | 6 - 8  | 0.1728 - 2304   | > 100 | 容易 |
| CHAPS               | 両イオン性 | 10 | 6,149  | 615 | 8 - 10 | 0.4920 - 0.6150 | > 100 | 容易 |
| CHAPSO              | 両イオン性 | 11 | 6,940  | 631 | 8 - 10 | 0.5048          | 90    | 容易 |







| Determination         | Structural entity |                 |     |                     |     |        |        |     |     |
|-----------------------|-------------------|-----------------|-----|---------------------|-----|--------|--------|-----|-----|
|                       | IF                | HOB             | BAB | CAS                 | RIV | RCT    | HCS    | HRV | HOC |
| Flagellate parent     | ++ <sup>b</sup>   | + <sup>c</sup>  | +   | + or - <sup>d</sup> | +   | + or - | -      | -   | -   |
| <i>H1</i> , <i>H2</i> | -                 | ++              | +   | + or -              | +   | -      | -      | -   | -   |
| <i>flaI</i>           | -                 | ++              | +   | + or -              | +   | -      | -      | -   | -   |
| <i>flaU</i>           | -                 | ++              | +   | + or -              | +   | -      | -      | -   | -   |
| <i>flaR</i>           | -                 | ++ <sup>e</sup> | +   | + or -              | +   | -      | -      | -   | -   |
| <i>flaP</i>           | -                 | -               | +   | + or -              | +   | -      | -      | -   | -   |
| <i>flaFVIII</i>       | -                 | -               | -   | +                   | +   | ++     | + or - | +   | -   |
| <i>flaFI</i>          | -                 | -               | -   | -                   | ++  | -      | -      | ++  | -   |
| <i>flaFIX</i>         | -                 | -               | -   | -                   | ++  | -      | -      | ++  | -   |
| <i>flaFIV</i>         | -                 | -               | -   | -                   | ++  | -      | -      | -   | -   |
| <i>flaAI</i>          | -                 | -               | -   | -                   | ++  | +      | -      | -   | -   |
| <i>flaII</i>          | -                 | -               | -   | -                   | -   | -      | -      | -   | -   |
| ( <i>motC</i> )       | ++ <sup>f</sup>   | +               | +   | + or -              | +   | -      | -      | -   | -   |
| <i>flaIII</i>         | -                 | -               | -   | -                   | -   | -      | -      | -   | -   |
| <i>flaB</i>           | -                 | -               | -   | -                   | -   | -      | -      | -   | -   |
| <i>flaC</i>           | -                 | -               | -   | -                   | -   | -      | -      | -   | -   |
| <i>flaD</i>           | -                 | -               | -   | -                   | -   | -      | -      | -   | -   |
| <i>flaE</i>           | -                 | -               | -   | -                   | -   | -      | -      | -   | -   |
| <i>flaFII</i>         | -                 | -               | -   | -                   | -   | -      | -      | -   | -   |
| <i>flaFIII</i>        | -                 | -               | -   | -                   | -   | -      | -      | -   | -   |
| <i>flaFVI</i>         | -                 | -               | -   | -                   | -   | -      | -      | -   | -   |
| <i>flaFVII</i>        | -                 | -               | -   | -                   | -   | -      | -      | -   | -   |
| <i>flaFX</i>          | -                 | -               | -   | -                   | -   | -      | -      | -   | -   |
| <i>flaK</i>           | -                 | -               | -   | -                   | -   | -      | -      | -   | -   |
| <i>flaM</i>           | -                 | -               | -   | -                   | -   | -      | -      | -   | -   |

<sup>a</sup> The frequencies of IF and flagellar basal structures detected in fraction BMII of flagellate parents and nonflagellate mutants are shown.

<sup>b</sup> ++. The count of each structural entity from  $\frac{1}{6}$  to  $5 \times$  the count of IF in its flagellate parent.

<sup>c</sup> +. The count of each structural entity from  $\frac{1}{500}$  to  $\frac{1}{6}$  the count of IF in its flagellate parent. Suzuki et al., J. Bacteriol. (1978)

<sup>d</sup> -. The count of each structural entity less than  $\frac{1}{500}$  the count of IF in its flagellate parent.

<sup>e</sup> Polyhook basal body complexes were detected.

<sup>f</sup> Paralyzed flagella, which were not discriminated morphologically from the IF of their flagellate parent.

